

## Спин-волновой резонанс в трехслойных пленках NiFe/Dy<sub>x</sub>Co<sub>1-x</sub>/NiFe как метод регистрации неоднородностей структур аморфных слоев Dy<sub>x</sub>Co<sub>1-x</sub>

P. С. Исхаков<sup>1)</sup>, В. А. Середкин<sup>+, \*</sup>, С. В. Столляр<sup>+</sup>, Л. А. Чеканова<sup>+</sup>, В. Ю. Яковчук<sup>+</sup>

<sup>+</sup>Институт физики им. Л. В. Киренского Сибирского отделения РАН, 660036 Красноярск, Россия

\* Красноярский государственный университет, 660041 Красноярск, Россия

Поступила в редакцию 21 октября 2002 г.

Методом спин-волнового резонанса исследован спектр стоячих спиновых волн в трехслойных пленках Ni<sub>80</sub>Fe<sub>20</sub>/Dy<sub>x</sub>Co<sub>1-x</sub>/Ni<sub>80</sub>Fe<sub>20</sub> с промежуточным слоем из аморфного сплава DyCo в области компенсационных составов. Показано, что в геометрии  $\mathbf{k} \parallel M$  спектр спин-волнового резонанса (СВР) существует только в планарной системе со слоем DyCo докомпенсационного состава. В геометрии  $\mathbf{k} \perp M$  спектр СВР обнаружен в системах с DyCo как до-, так и послекомпенсационных составов. Анализ зависимости величины обменной жесткости системы от толщины слоя DyCo позволил сформулировать модель микрогетерофазности строения аморфных сплавов DyCo в компенсационной области, особенности магнитной микроструктуры которой объясняют как динамические, так и статические магнитные характеристики этих материалов.

PACS: 75.60.-d, 75.70.-i

Аморфные сплавы РЗ-ПМ (РЗ – Dy, Gd, Tb; ПМ – Fe, Co), получаемые в широкой области концентраций в виде твердых растворов, являются ярчайшими представителями класса аморфных ферромагнетиков. Полная намагниченность этих сплавов зависит от суммы антипараллельных намагниченостей подрешеток РЗ и ПМ. Поэтому в этих материалах существует как температура компенсаций ( $T_{\text{comp}}$ ), так и компенсационный состав ( $x_{\text{comp}}$ ), определяемые условием обращения в нуль суммарной намагниченности. Обычно эти материалы, изготовленные в виде пленок с составами, близкими к компенсационным, применяются как среды для термо-магнитной записи с ультравысокой плотностью [1]. В этих пленках в точках  $T_{\text{comp}}$  (либо  $x_{\text{comp}}$ ) коэрцитивная сила имеет резкий максимум. Достаточно уйти на несколько градусов от  $T_{\text{comp}}$  (либо на 2–3 ат.% от  $x_{\text{comp}}$ ), чтобы коэрцитивная сила уменьшилась в несколько раз. Особенности магнитной и атомной структур этих сплавов интенсивно изучались в [2]. Однако до сих пор имеются слабоизученные свойства, например, динамические. Так, исследования этих пленок методом ферромагнитного резонанса (ФМР) показывают, что при приближении состава пленок к  $x_{\text{comp}}$  (либо при приближении температуры к  $T_{\text{comp}}$ ) ширина линии ФМР увеличивается, и в области компенсации суммарной намагниченнос-

ти поглощение СВЧ электромагнитных волн не наблюдается (заметим, что такое поведение параметров ФМР является общим для ферромагнитных материалов [3]).

В данной работе мы изложим результаты исследования динамических магнитных свойств трехслойных пленок NiFe/Dy<sub>x</sub>Co<sub>1-x</sub>/NiFe, в которых аморфный слой РЗ-ПМ изготавливается в области компенсационных составов.

В ходе экспериментальных исследований установлено, что, во-первых, в такой трехслойной композиционной планарной системе однородным переменным магнитным полем возбуждаются стоячие спиновые волны. Этот результат указывает на обменное взаимодействие между ферри- и ферромагнитными слоями. Во-вторых, анализ зависимости эффективной спин-волновой жесткости такой системы от толщины ферромагнитного слоя позволил сделать косвенное (но достоверное) заключение об особенностях реальной магнитной и химической структур пленок сплава DyCo компенсационного состава.

**Получение образцов и методика эксперимента.** Трехслойные обменносвязанные пленки Ni<sub>80</sub>Fe<sub>20</sub>/Dy<sub>x</sub>Co<sub>1-x</sub>/Ni<sub>80</sub>Fe<sub>20</sub> были получены методом термического испарения в вакууме  $3 \cdot 10^{-6}$  торр последовательным напылением слоев NiFe и DyCo из трех независимых испарителей с кольцевым катодом на подложки из покровных стекол. Толщины слоев пермаллоя в планарной системе составля-

<sup>1)</sup>e-mail: rauf@iph.krasn.ru

ли  $d_{\text{NiFe}} = 1100 \text{ \AA}$ , а толщина слоя  $\text{Dy}_x\text{Co}_{1-x}$  варьировалась в диапазоне от 100 до 800  $\text{\AA}$ . В качестве реперных образцов использовались однослойные пленки пермаллоя  $\text{Ni}_{80}\text{Fe}_{20}$  толщиной 3000  $\text{\AA}$  и однослойные пленки  $\text{Dy}_x\text{Co}_{1-x}$  толщиной 700  $\text{\AA}$ . Толщины и химический состав пленок контролировались методом рентгеноспектрального анализа. Аморфное состояние слоя DyCo контролировалось методом электронной микроскопии. В качестве тестовой методики, позволяющей определять состав (докомпенсационный, компенсационный, послекомпенсационный) этого слоя, использовался магнитооптический эффект Керра в полях до 15 кЭ. Этой же методикой (путем изучения магнитооптических петель гистерезиса на обеих внешних поверхностях слоя DyCo) установлена однородность состава по толщине пленок DyCo (впоследствии подтвержденная методом ОЖЕ-спектроскопии) и наличие перпендикулярной анизотропии. В нашем случае компенсационным составом при комнатной температуре является состав  $\text{Dy}_{22}\text{Co}_{78}$ . Были изготовлены две серии планарных структур:  $\text{Ni}_{80}\text{Fe}_{20}/\text{Dy}_{20}\text{Co}_{80}/\text{Ni}_{80}\text{Fe}_{20}$  и  $\text{Ni}_{80}\text{Fe}_{20}/\text{Dy}_{24}\text{Co}_{76}/\text{Ni}_{80}\text{Fe}_{20}$ . Выбранные составы ферромагнитного слоя находятся по разные стороны от  $x_{\text{comp}}$ , однако характеризуются близкими величинами суммарной намагниченности насыщения  $M_s \approx 80 \text{ Гс}$ , коэрцитивной силы  $H_c \approx 4-5 \text{ кЭ}$  и величинами перпендикулярной магнитной анизотропии  $K_\perp \approx 3 \cdot 10^5 \text{ эрг/см}^3$ .

Спектры спин-волнового резонанса (СВР) планарных структур  $\text{NiFe}/\text{Dy}_x\text{Co}_{1-x}/\text{NiFe}$ , однослойных пленок NiFe, а также пленок DyCo изучались на стандартном спектрометре X-band с частотой накачки резонатора  $f = 9.2 \text{ ГГц}$  при комнатной температуре. Пленки помещались в пучность переменного магнитного поля проходного резонатора и намагничивались в двух геометриях (перпендикулярно либо параллельно) относительно поверхности. Резонансные поля пиков СВР (для ферромагнитных пленок) в первой геометрии, как известно, удовлетворяют уравнению

$$H_n = \frac{\omega}{\gamma} + 4\pi M - \eta_{\text{eff}} \mathbf{k}_n^2, \quad \mathbf{k} \parallel M, \quad (1)$$

а во второй геометрии – уравнению

$$H_n = \{[(\omega/\gamma)^2 + (2\pi M)^2]^{1/2} - 2\pi M\} - \eta_{\text{eff}} \mathbf{k}_n^2, \quad \mathbf{k} \perp M. \quad (2)$$

Здесь  $\omega = 2\pi f$  – частота,  $\gamma$  – гиромагнитное соотношение,  $\eta_{\text{eff}} = 2A/M$  – спин-волновая жесткость, связанная с константой обменного взаимодействия  $A$ ,  $M$  – намагниченность,  $\mathbf{k}_n$  – волновой вектор  $n$ -й моды спектра СВР, определяемый соотношением  $k_n = (\pi/d)n$  ( $n = 1, 2, 3, \dots, d$  – толщина пленки).

Для наших целей важно, что эффективная обменная жесткость  $\eta_{\text{eff}}$ , вычисляемая по формуле

$$\eta_{\text{eff}} = \frac{H_1 - H_n}{n^2 - 1} \left( \frac{d}{\pi} \right)^2, \quad (3)$$

не зависит от геометрии эксперимента СВР и (при условии регистрации пиков СВР как для случая  $\mathbf{k} \parallel M$ , так и для случая  $\mathbf{k} \perp M$ ) должна характеризоваться одной и той же величиной. Действительно, на реперных однослойных пленках  $\text{Ni}_{80}\text{Fe}_{20}$  толщиной 3000  $\text{\AA}$  регистрировались спектры СВР в обеих геометриях эксперимента:  $\mathbf{k} \parallel M$  – 14 пиков СВР, включая поверхностный,  $\mathbf{k} \perp M$  – 5 пиков СВР (см. рис.1). Рассчитанные по формуле (3) величины

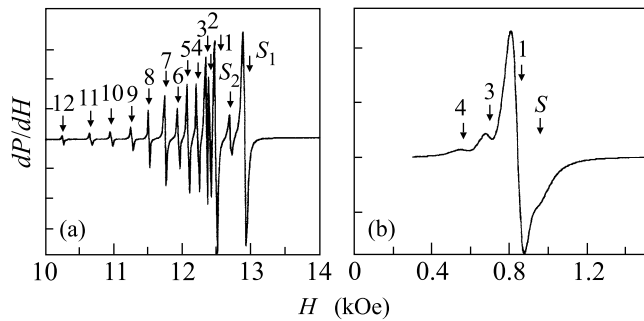


Рис.1. Спектры СВР реперных пленок  $\text{Ni}_{80}\text{Fe}_{20}$  в координатах  $dP/dH, H$ : (а)  $\mathbf{k} \parallel M$ , (б)  $\mathbf{k} \perp M$  ( $S$  – поверхностные моды, 1, 2, 3 … – пронумерованные объемные моды)

$\eta_{\text{eff}}$  с хорошей точностью оказались одинаковыми:  $\eta_{\text{eff}} \approx 2.5 \cdot 10^{-9} \text{ Э} \cdot \text{см}^2$  (отметим, что эта величина согласуется с имеющимися литературными данными [4]). На реперных пленках  $\text{Dy}_{20}\text{Co}_{80}$ ,  $\text{Dy}_{22}\text{Co}_{78}$ ,  $\text{Dy}_{24}\text{Co}_{76}$  СВЧ поглощение не наблюдалось.

**Результаты и обсуждение.** На рис.2 приведены спектры поглощения исследуемых трехслойных пленок  $\text{NiFe}/\text{Dy}_x\text{Co}_{1-x}/\text{NiFe}$ . Кривая на рис.2а описывает спектр СВР планарной системы  $\text{Ni}_{80}\text{Fe}_{20}/\text{Dy}_{20}\text{Co}_{80}/\text{Ni}_{80}\text{Fe}_{20}$  в геометрии  $\mathbf{k} \parallel M$ , кривая на рис.2б – спектр СВЧ поглощения системы  $\text{Ni}_{80}\text{Fe}_{20}/\text{Dy}_{24}\text{Co}_{76}/\text{Ni}_{80}\text{Fe}_{20}$  в этой же геометрии. Видно существенное различие представленных спектров: на планарной системе с промежуточным слоем DyCo докомпенсационного состава возбуждаются спин-волновые моды, в то время как на планарной системе с промежуточным слоем DyCo послекомпенсационного состава спектр представляет собой суперпозицию двух кривых ФМР от ферромагнитных слоев NiFe. Причиной столь значительных отличий выступает обменное взаимодействие между слоями, а также ориентация намагниченности

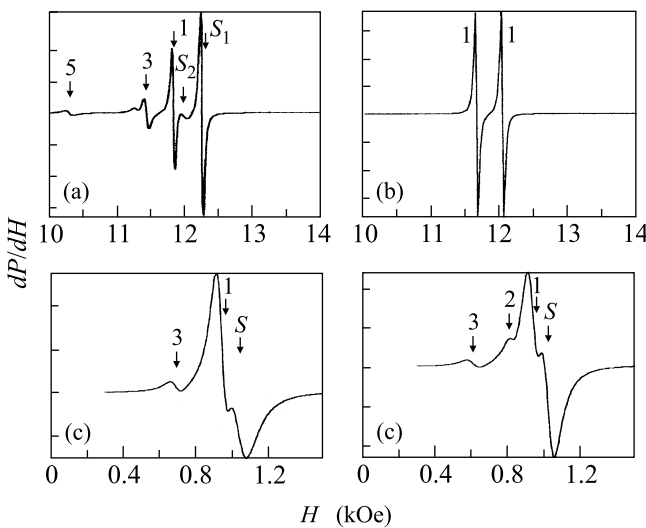


Рис.2. Спектры СВР трехслойных пленок  $\text{Ni}_{80}\text{Fe}_{20}/\text{Dy}_x\text{Co}_{1-x}/\text{Ni}_{80}\text{Fe}_{20}$  со слоем DyCo докомпенсационного состава DyCo (a), (c) и послекомпенсационного состава DyCo (b), (d) в двух геометриях: (a), (b) –  $\mathbf{k} \parallel M$  и (c), (d) –  $\mathbf{k} \perp M$

подрешетки Со в слое DyCo относительно внешнего магнитного поля. Действительно, в трехслойной системе с промежуточным слоем докомпенсационного состава в геометрии нашего эксперимента векторы намагниченности насыщения слоев NiFe, суммарной намагниченности DyCo, а также подрешетки Со параллельны внешнему магнитному полю  $H$ . Благодаря обменному взаимодействию магнитных моментов переходных металлов, магнитные моменты Со будут вовлечены в формирование когерентных стоячих спиновых волн СВЧ полями. В этом случае при изменении  $H$  последовательно возбуждаются стоячие волны с разными  $n$  (см. рис.2a). В то же время конфигурация векторов намагниченностей в трехслойной системе с промежуточным слоем DyCo послекомпенсационного состава другая. Здесь векторы намагниченности подрешетки Со в DyCo и намагниченности насыщения слоев NiFe в насыщающих полях  $H$  антипараллельны. И, вследствие того же обменного взаимодействия, мы наблюдаем дублетную линию ФМР в этой трехслойной системе (рис.2b).

Неожиданным результатом стало наблюдение спектра поглощения СВР-типа в геометрии  $\mathbf{k} \perp M$  (внешнее поле параллельно плоскости пленок) как на планарных системах с докомпенсационным промежуточным слоем DyCo, так и на планарных системах с послекомпенсационным промежуточным слоем DyCo (см. рис.2c и 2d, соответственно). Дело

в том, что внешнее поле  $H$  ( $\sim 1$  кЭ) в этой геометрии существенно меньше коэрцитивной силы ферромагнитного слоя DyCo ( $H_c \approx 4-5$  кЭ). Следовательно, менять ориентацию суммарной намагниченности в слое DyCo (как и ориентацию намагниченостей подрешеток) это поле не может. Ясность внесло исследование изменений параметров спектров СВР в изучаемых планарных системах при изменении толщины промежуточного слоя DyCo от 100 до 800 Å.

На рис.3 представлены величины эффективной обменной жесткости  $\eta_{\text{eff}}$  в зависимости от

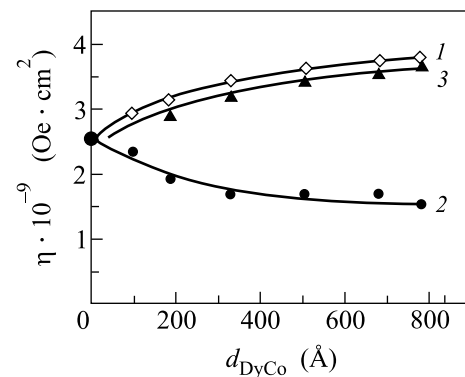


Рис.3. Зависимость эффективных значений спин-волновой жесткости  $\eta_{\text{eff}}$  трехслойных пленок от толщины слоя DyCo:  $\eta^{(\mathbf{k} \parallel M)}$   $\text{Ni}_{80}\text{Fe}_{20}/\text{Dy}_{20}\text{Co}_{80}/\text{Ni}_{80}\text{Fe}_{20}$  (кривая 1),  $\eta^{(\mathbf{k} \perp M)}$   $\text{Ni}_{80}\text{Fe}_{20}/\text{Dy}_{20}\text{Co}_{80}/\text{Ni}_{80}\text{Fe}_{20}$  (кривая 2),  $\eta^{(\mathbf{k} \perp M)}$   $\text{Ni}_{80}\text{Fe}_{20}/\text{Dy}_{24}\text{Co}_{76}/\text{Ni}_{80}\text{Fe}_{20}$  (кривая 3)

толщины слоя DyCo, вычисленные по формуле (3) из экспериментальных спектров СВР, описываемых выражением (1) для планарной системы  $\text{Ni}_{80}\text{Fe}_{20}/\text{Dy}_{20}\text{Co}_{80}/\text{Ni}_{80}\text{Fe}_{20}$  в геометрии  $\mathbf{k} \parallel M$  (кривая 1); выражением (2) для системы  $\text{Ni}_{80}\text{Fe}_{20}/\text{Dy}_{20}\text{Co}_{80}/\text{Ni}_{80}\text{Fe}_{20}$  и системы  $\text{Ni}_{80}\text{Fe}_{20}/\text{Dy}_{24}\text{Co}_{76}/\text{Ni}_{80}\text{Fe}_{20}$  в геометрии  $\mathbf{k} \perp M$  (кривая 2 и 3, соответственно). Здесь же на оси ординат отложена величина обменной жесткости  $\eta_{\text{eff}}$  реперной пленки NiFe. (Вопросы формирования эффективной обменной жесткости  $\eta_{\text{eff}}$  трехслойной системы из парциальных обменных жесткостей  $\eta_i$  индивидуальных слоев в данной работе мы не рассматриваем.)

Видно, что величины обменной жесткости  $\eta_{\text{eff}}$ , характеризующие систему  $\text{Ni}_{80}\text{Fe}_{20}/\text{Dy}_{20}\text{Co}_{80}/\text{Ni}_{80}\text{Fe}_{20}$ , зависят от геометрии эксперимента СВР: отношение величин  $\eta_{\text{eff}}$  ( $\mathbf{k} \parallel M$ ) к величинам  $\eta_{\text{eff}}$  ( $\mathbf{k} \perp M$ ) достигает двух и более раз (см. кривые 1, 2), что существенно превышает ошибку эксперимента при вычислении этой величи-

ны ( $\sim 10\%$ ). В то же время видно, что величины  $\eta_{\text{eff}}$ , измеренные на системе  $\text{Ni}_{80}\text{Fe}_{20}/\text{Dy}_{24}\text{Co}_{76}/\text{Ni}_{80}\text{Fe}_{20}$  в геометрии  $\mathbf{k} \perp M$  (кривая 3), близки к величинам  $\eta_{\text{eff}}$  системы с промежуточным слоем  $\text{Dy}_{20}\text{Co}_{80}$ , определенным в геометрии  $\mathbf{k} \parallel M$ . Если исходить из принципа, что величина обменной жесткости ферромагнитной пленки не должна зависеть от геометрии СВР, то мы приходим к выводу, что величины  $\eta_{\text{eff}}$  на кривых 1, 3 (рис.3) характеризуют один и тот же магнитный материал, а величины  $\eta_{\text{eff}}$  на кривой 2 (рис.3) – другой магнитный материал.

На наш взгляд, полученные нами результаты отражают основное свойство аморфного состояния – естественную (флуктуационную) неоднородность структуры аморфных сплавов. Известно, что в аморфных сплавах существуют химические (фазовые) неоднородности наномасштаба. В частности, в аморфных ферромагнитных сплавах эти неоднородности выступают причиной флуктуации обменного взаимодействия и намагниченности насыщения, которые неоднократно экспериментально регистрировались (в том числе и методом СВР, см. [5–8]). Амплитуда флуктуаций концентраций в этих сплавах может достигать нескольких атомных процентов от средней концентрации. И это основная причина особенностей сплавов DyCo в компенсационной области. Для этого сплава естественно ввести понятие двух магнитных фаз: фаза  $\Phi_1$ , для которой локально и интегрально выполняется неравенство  $M_{\text{Co}} > M_{\text{Dy}}$  и фаза  $\Phi_2$ , в которой на микро- и макроуровне реализуется неравенство  $M_{\text{Dy}} > M_{\text{Co}}$ . В области концентраций  $x \ll x_{\text{comp}}$  либо  $x \gg x_{\text{comp}}$  магнитная структура сплава DyCo однозначно относится к  $\Phi_1$  либо к  $\Phi_2$ . Совершенно другая ситуация реализуется в области  $x \approx x_{\text{comp}}$  при условии, что  $\Delta_x$  лежит в пределах дисперсии флуктуации локальных концентраций. В этом случае сама точка компенсации  $x_{\text{comp}}$  определяется требованием равенства объемов хаотически перемешанных фаз  $\Phi_1$  и  $\Phi_2$ . Сплавы DyCo докомпенсационного состава тогда определяются неравенством  $V_{\Phi_1} > V_{\Phi_2}$ , а послекомпенсационного состава –  $V_{\Phi_1} < V_{\Phi_2}$ . Согласно простым оценкам теории протекания, можно утверждать, что вблизи  $x_{\text{comp}}$  вплоть до концентраций  $x^*$ , при которых выполняются условия  $V_{\Phi_1} \approx V_{\Phi_2}$  либо  $2V_{\Phi_1} \approx V_{\Phi_2}$ , протекание осуществляется как по  $\Phi_1$ , так и по  $\Phi_2$ .

Результаты нашего эксперимента естественным образом интерпретируются в рамках предложенной схемы на рис.4 (здесь стрелками указаны возможная ориентация намагниченностей 3d-металлов, а также схематично представлено распределение переменной намагниченности по толщине трехслойной пленки в

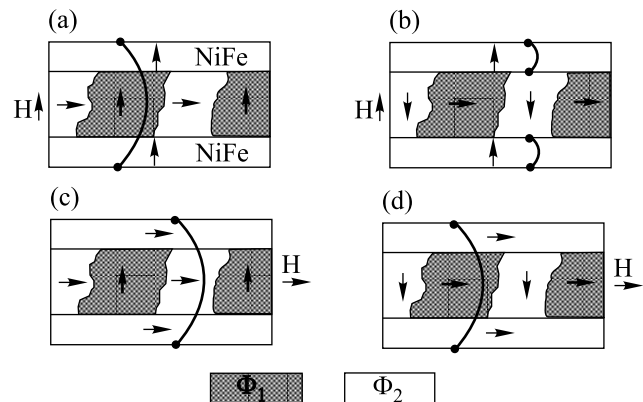


Рис.4. Конфигурация векторов намагниченностей 3d металлов трехслойных пленок и первая мода стоячей спиновой волны: (a), (c) – докомпенсационный, (b), (d) – послекомпенсационный составы DyCo

первой моде СВР). Рис.4а описывает экспериментальную ситуацию, приведенную на рис.2а. Здесь для слоя  $\text{Dy}_{20}\text{Co}_{80}$  фаза  $\Phi_1$  – матричная, фаза  $\Phi_2$  – примесная. Намагниченность  $M_{\text{Co}}$  в фазе  $\Phi_1$  ориентирована по внешнему полю и полю перпендикулярной анизотропии. В этом случае в примесной фазе  $\Phi_2$  намагниченность  $M_{\text{Co}}$  из-за обменного взаимодействия переходных элементов обязана иметь плоскостную составляющую. Поэтому для трехслойной системы  $\text{Ni}_{80}\text{Fe}_{20}/\text{Dy}_{20}\text{Co}_{80}/\text{Ni}_{80}\text{Fe}_{20}$  в геометрии  $\mathbf{k} \parallel M$  когерентная спиновая волна распространяется по фазе  $\Phi_1$ , а в геометрии  $\mathbf{k} \perp M$  – по фазе  $\Phi_2$  (см. рис.2с и 4с). Тогда различие величин  $\eta_{\text{eff}}$  кривых 1, 2 на рис.3 физически понятно – эффективная жесткость здесь формируется из парциальных жесткостей  $\eta_i$  по сути дела разных магнитных материалов. Для системы  $\text{Ni}_{80}\text{Fe}_{20}/\text{Dy}_{24}\text{Co}_{76}/\text{Ni}_{80}\text{Fe}_{20}$  осуществляется инверсия – здесь  $\Phi_2$  – основная, а  $\Phi_1$  – примесная фазы. В этом случае в геометрии СВР ( $\mathbf{k} \parallel M$ ) по внешнему полю ориентируется намагниченность  $M_{\text{Dy}}$  фазы  $\Phi_2$ , а намагниченность  $M_{\text{Co}}$  этой фазы антипараллельна как внешнему полю, так и намагниченностям NiFe. В такой ситуации возбуждение когерентной спиновой волны возможно только в слоях NiFe (см. рис.2б и рис.4б). Однако теперь намагниченность  $M_{\text{Co}}$  примесной фазы  $\Phi_1$  может иметь плоскостную составляющую. Поэтому в трехслойной системе  $\text{Ni}_{80}\text{Fe}_{20}/\text{Dy}_{24}\text{Co}_{76}/\text{Ni}_{80}\text{Fe}_{20}$  в геометрии  $\mathbf{k} \perp M$  когерентная спиновая волна получает возможность распространяться по примесной фазе  $\Phi_1$  (см. рис.2д и рис.4д). Последнее объясняет согласие величин  $\eta_{\text{eff}}$ , представленных на рис.3 кривыми 1 и 3.

Таким образом, результаты исследования методом СВР трехслойных планарных систем

$Ni_{80}Fe_{20}/Dy_xCo_{1-x}/Ni_{80}Fe_{20}$  с промежуточным аморфным слоем DyCo в области компенсационных составов позволяют не только косвенно судить (но, на наш взгляд – достоверно) о неоднородной структуре этих аморфных пленок DyCo, но и предложить модель микрогетерофазности этого технически важного класса магнитных материалов.

Работа выполнена при поддержке фонда ККФН-РФФИ, грант # 02-02-97717.

- 
1. R. W. Chantrell, A. Lyberatos, M. El-Hilo, and K. O. Grady, *J. Appl. Phys.* **76**, 6407 (1994).

2. K. H. J. Buschow, in *Ferromagnetic Materials*, 4, Eds. E. P. Wolfarth and K. H. J. Buschow, Elsevier, New York, 1988.
3. А. Г. Гуревич, *Магнитный резонанс в ферритах и антиферромагнетиках*, М.: Наука, 1973.
4. Г. И. Русов, *ФТТ* **9**, 196 (1967).
5. В. А. Игнатченко, Р. С. Исхаков, Л. А. Чеканова, Н. С. Чистяков, *ЖЭТФ* **75**, 876 (1978).
6. Р. С. Исхаков, М. М. Бруштунов, А. С. Чеканов и др., *ФММ* **79**, 122 (1995).
7. Р. С. Исхаков, С. В. Столляр, Л. А. Чеканова, В. С. Жигалов, *ФТТ* **43**, 1072 (2001).
8. Р. С. Исхаков, Д. Е. Прокофьев, Л. А. Чеканова, В. С. Жигалов, *Письма в ЖТФ* **27**, 81 (2001).